

## **NOWCASTING SOLARE 17 LUGLIO 2015**

L'attività solare nella giornata del 17 luglio è risultata a livelli molto bassi, Il più grande brillamento di oggi un B5 scaturito dalla Regione 2387 (N17E54, Dai / beta). Una lieve crescita è stata osservata dalla Regione 2387.

Il resto delle regioni risultano stabili o in declino. Non sono state osservate espulsioni di massa coronale dirette verso la Terra.

L'attività solare dovrebbe restare molto bassa per i prossimi tre giorni con la possibilità per brillamenti di Classe).

Ne consegue che:

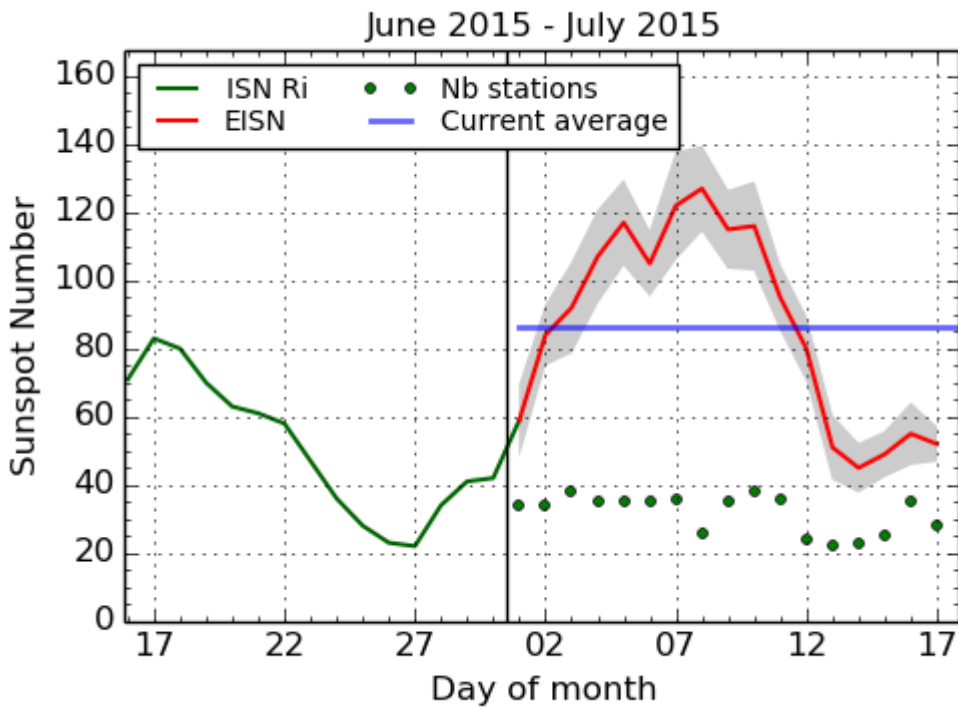
Il campo geomagnetico solare nel corso delle ultime 24 ore è risultato in stato "QUIET" mentre i Raggi X sono risultati in stato "NORMAL"

La velocità del flusso solare a 2,8 GHz alle ore 20,00 è risultato di 97.4

La media mensile del flusso solare ad oggi è risultata di 116.6

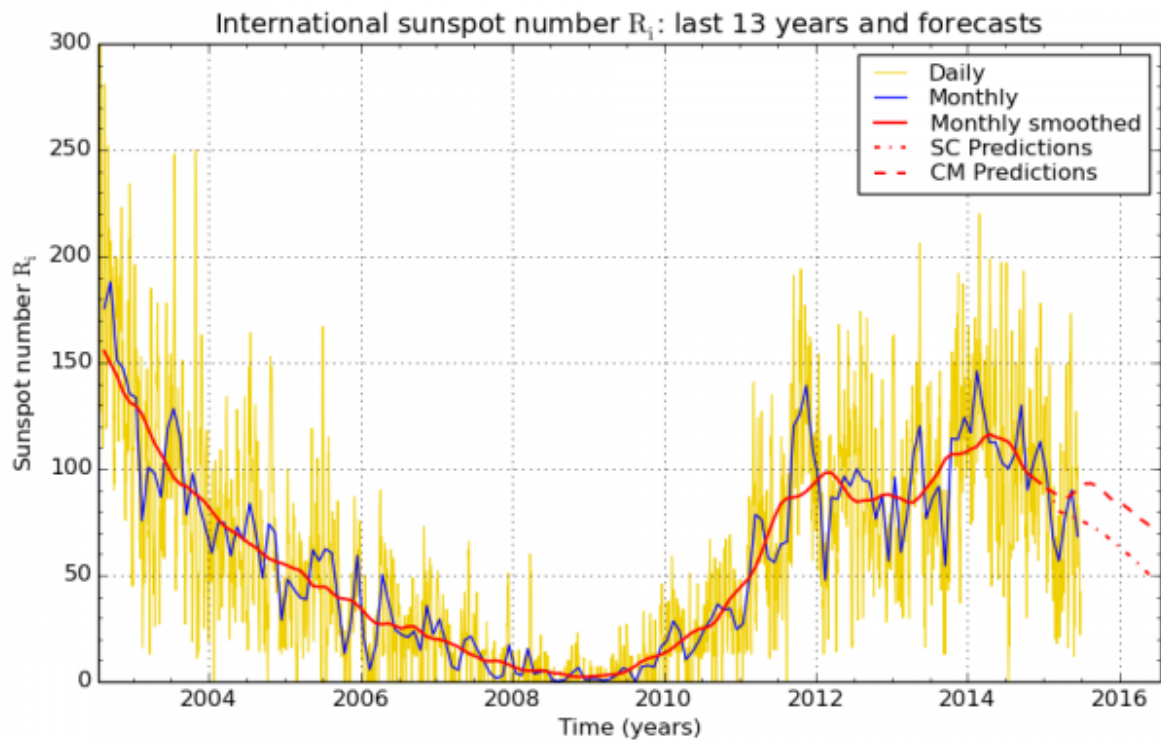
Il conteggio delle macchie solari (conteggio SILSO) è risultato di 52 macchie.

La media mensile delle macchie solari è risultata di 81.7 punti.



SILSO graphics (<http://sidc.be/silso>) Royal Observatory of Belgium, 2015 July 17

*L'andamento delle macchie solari nell'ultimo mese del centro di conteggio SILSO*



SILSO graphics (<http://sidc.be/silso>) Royal Observatory of Belgium 2015 July 1

*Andamento dell'attività solare negli ultimi 13 anni del centro di conteggio SILSO*

La media mensile dell'indice AP è risultata nella giornata di ieri di 9.9

La velocità del vento solare attuale è di 372.7 km/s

La densità del vento solare attuale è di 2.0 protons/cm<sup>3</sup>

L'indice A attuale è di 8

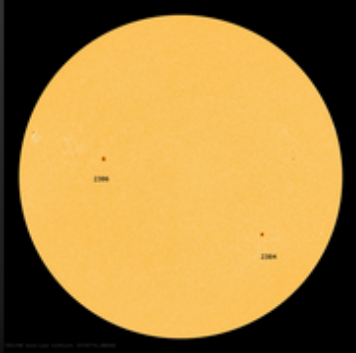
L'indice K attuale è di 1

Il flusso dei raggi X attuale risulta di classe B 2.2

La componente BZ attuale è di -0.5 nT

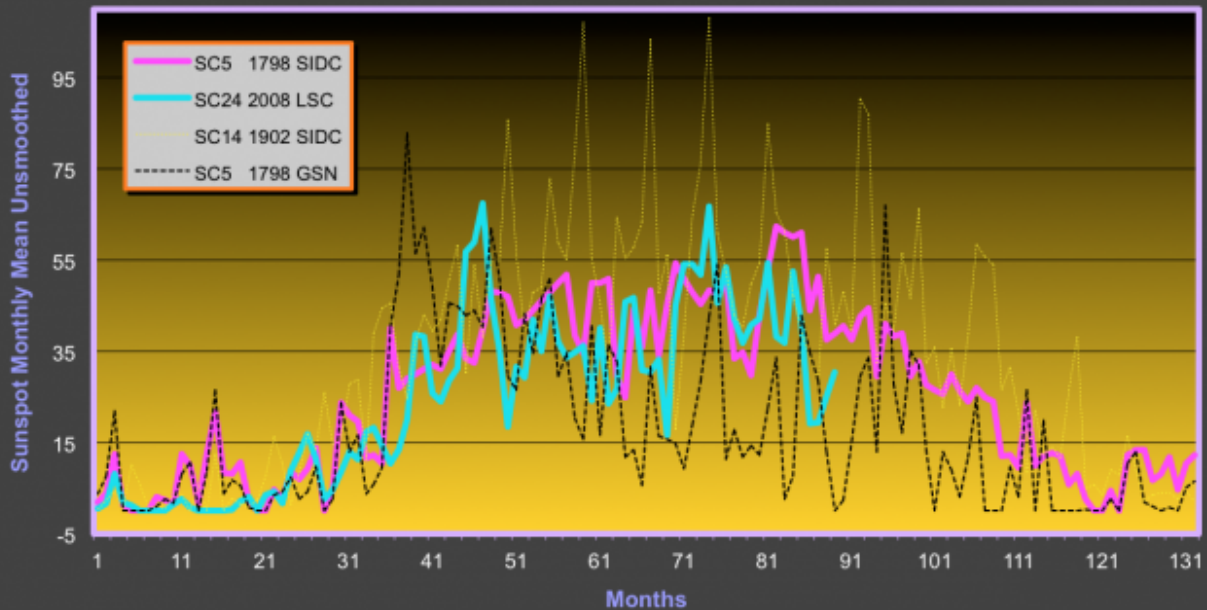
Il conteggio delle macchie solari del Layman's sunspot count (gestito da Geoff Sharp), nella giornata del 16 luglio alle ore 08:00 (ultimo aggiornamento disponibile) è risultato di 16 macchie che porta la media mensile a 36 macchie giornaliere.

LSC Daily	Draw Ref.	SILSO	LSC Mov Avg.
16	Manual	--	36



NOAA Region #	Pixels	Darkness
2384	1500 (1916)	64% (65%)
2386	1885 (1689)	64% (49%)
F10.7 flux	E10.7 flux	Date/Time UTC
102.9 (104.4)	135.3 (136.1)	2015/07/16 08:00

SC5-SC24 Layman's Count Comparison

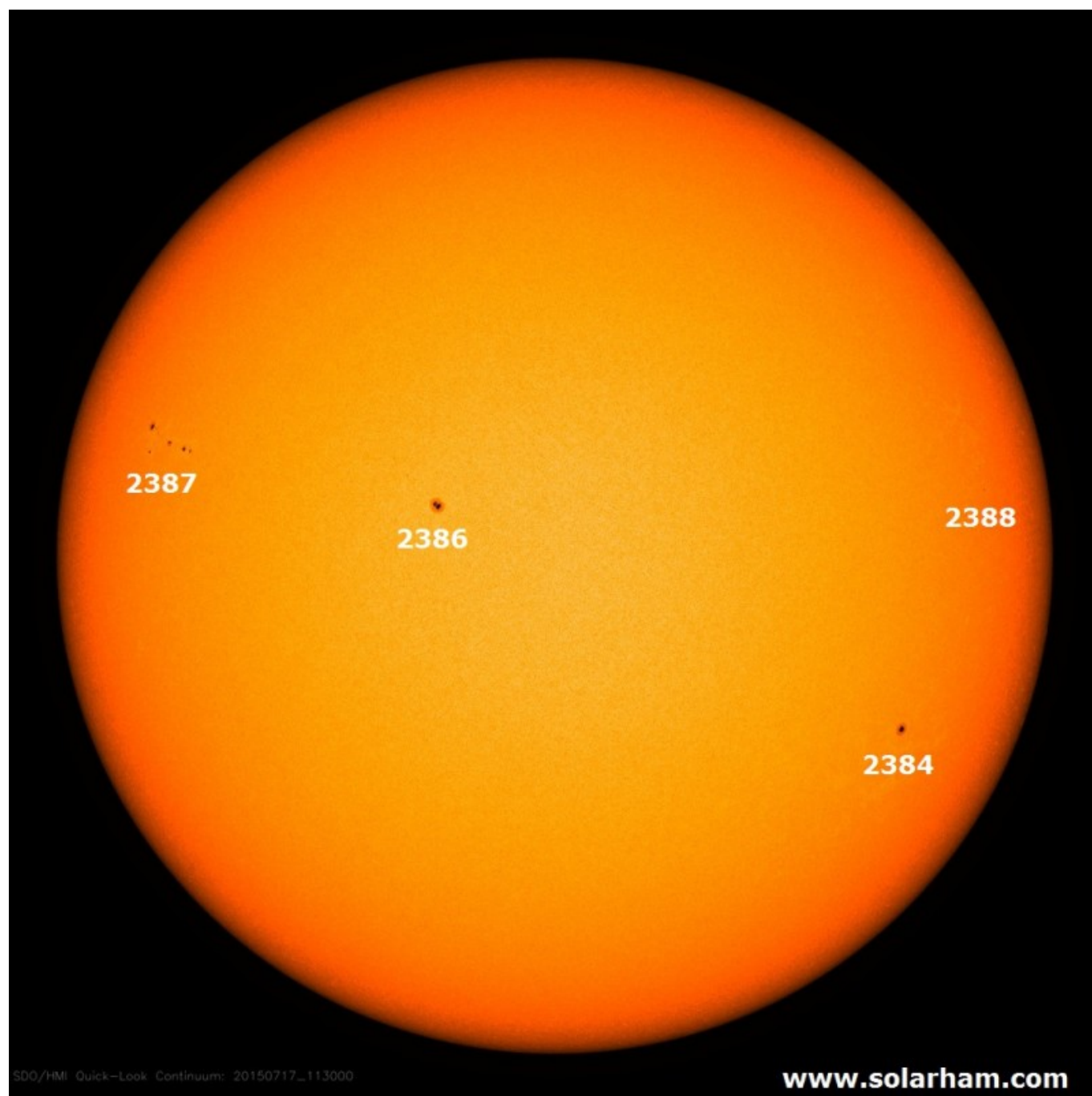


Confronto tra i due cicli, il ciclo 5 (minimo di Dalton colore fucsia) e il ciclo 24 (ciclo attuale colore azzurro) per il metodo di conteggio del Layman's

Alle ore 18.00 UTC, il disco solare visibile da terra presentava 4 regioni attive (in risoluzione 2K da immagini SDO/HMI)

Num	Lat.,	CMD	Long.	Area	Extent	class
count	class					

2384	S18W43	14	90	4	HSX	4	A
2386	N11E18	313	70	4	HSX	2	A
2387	N17E61	270	30	6	CAI	5	B
2388	N08W53	24	20	7	CA0	4	B



### Aggiornamento del Polar Field del 13 luglio 2015

Come nostra consuetudine, diamo uno sguardo all'ultimo aggiornamento WS0, del Polar Field, sui dati raccolti dal prestigioso osservatorio di Wilcox, Solar Observatory, della Stanford University, sui dati del campo magnetico solare.

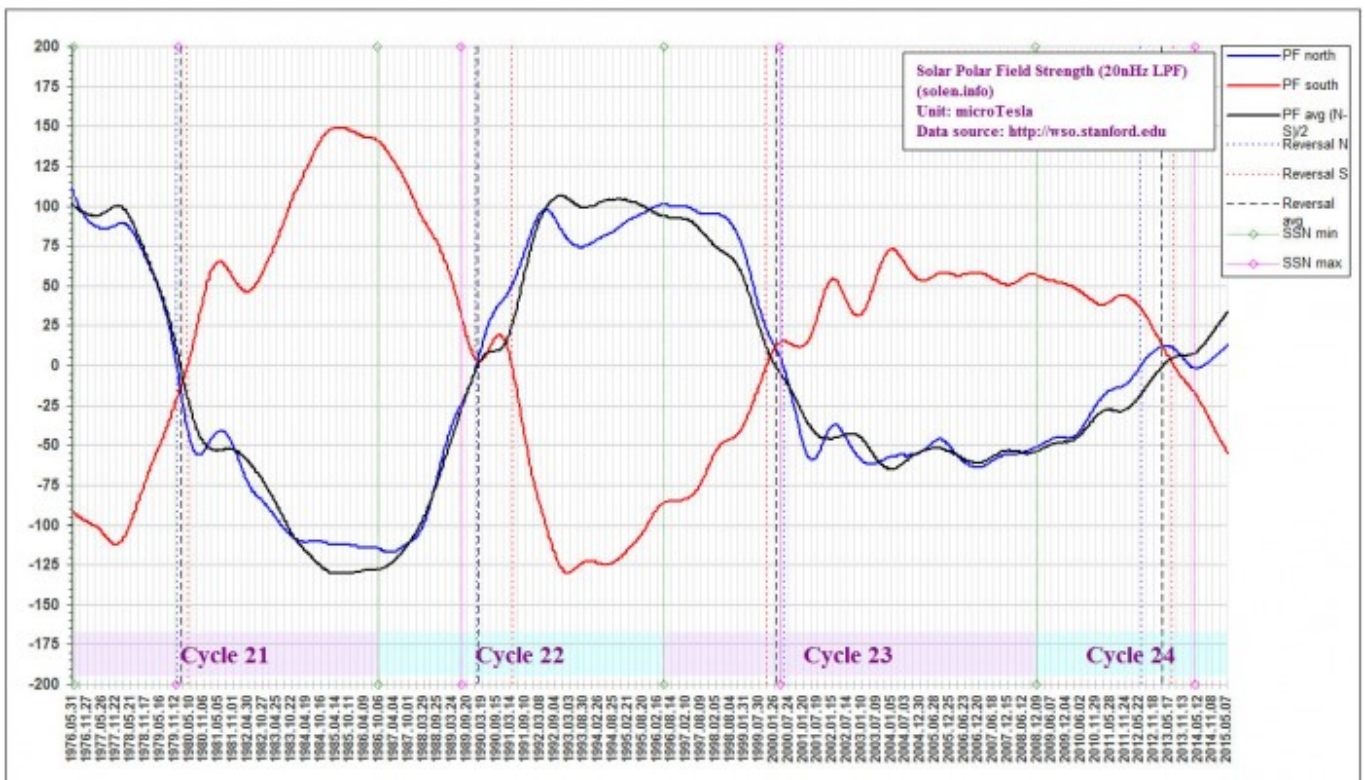
Il dato aggiornato al 13 luglio 2015, e che fa riferimento al 26 giugno, mette in mostra come l'emisfero nord si sia bloccato di nuovo, dopo un breve avanzamento, tornando indietro di un punto quindi attestandosi a 12Nf. Al

contrario avanza l'emisfero sud di 2 punti, portandosi a -63Sf.

Di conseguenza la media Avgf avanza di un punto e attestandosi a 38Avgf.

2014:12:08_21h:07m:13s	0N	-44S	22Avg	20nhz	filt:	6Nf	-42Sf	24Avgf
2014:12:18_21h:07m:13s	-6N	-40S	17Avg	20nhz	filt:	6Nf	-43Sf	25Avgf
2014:12:28_21h:07m:13s	-4N	-43S	19Avg	20nhz	filt:	6Nf	-45Sf	26Avgf
2015:01:07_21h:07m:13s	3N	-42S	22Avg	20nhz	filt:	7Nf	-46Sf	26Avgf
2015:01:17_21h:07m:13s	9N	-45S	27Avg	20nhz	filt:	7Nf	-47Sf	27Avgf
2015:01:27_21h:07m:13s	18N	-41S	29Avg	20nhz	filt:	8Nf	-48Sf	28Avgf
2015:02:06_21h:07m:13s	10N	-45S	27Avg	20nhz	filt:	8Nf	-49Sf	29Avgf
2015:02:16_21h:07m:13s	8N	-48S	28Avg	20nhz	filt:	8Nf	-50Sf	29Avgf
2015:02:26_21h:07m:13s	8N	-51S	29Avg	20nhz	filt:	9Nf	-51Sf	30Avgf
2015:03:08_21h:07m:13s	17N	-50S	33Avg	20nhz	filt:	9Nf	-52Sf	31Avgf
2015:03:18_21h:07m:13s	27N	-49S	38Avg	20nhz	filt:	9Nf	-53Sf	31Avgf
2015:03:28_21h:07m:13s	24N	-52S	38Avg	20nhz	filt:	10Nf	-54Sf	32Avgf
2015:04:07_21h:07m:13s	15N	-56S	36Avg	20nhz	filt:	10Nf	-55Sf	33Avgf
2015:04:17_21h:07m:13s	11N	-59S	35Avg	20nhz	filt:	10Nf	-56Sf	33Avgf
2015:04:27_21h:07m:13s	13N	-61S	37Avg	20nhz	filt:	11Nf	-57Sf	34Avgf
2015:05:07_21h:07m:13s	16N	-64S	40Avg	20nhz	filt:	11Nf	-58Sf	35Avgf
2015:05:17_21h:07m:13s	15N	-66S	41Avg	20nhz	filt:	11Nf	-59Sf	35Avgf
2015:05:27_21h:07m:13s	12N	-80S	46Avg	20nhz	filt:	12Nf	-60Sf	36Avgf
2015:06:06_21h:07m:13s	6N	-76S	41Avg	20nhz	filt:	12Nf	-61Sf	37Avgf
2015:06:16_21h:07m:13s	5N	-75S	40Avg	20nhz	filt:	12Nf	-62Sf	37Avgf
2015:06:26_21h:07m:13s	5N	-74S	40Avg	20nhz	filt:	12Nf	-63Sf	38Avgf

<http://wso.stanford.edu/Polar.html#latest>



<http://www.solen.info/solar/polarfields/polar.html>

Enzo  
Attività Solare